

УДК 536.24.001.57:621.039.517.55

О. В. СЕМЕНОВИЧ

## МАТЕМАТИЧЕСКОЕ МОДЕЛИРОВАНИЕ ТЕПЛОГИДРАВЛИЧЕСКИХ ПРОЦЕССОВ В СТЕРЖНЕВЫХ ТЕПЛО ВЫДЕЛЯЮЩИХ СБОРКАХ

*Объединенный институт энергетических и ядерных исследований – Сосны НАН Беларуси*

*(Поступила в редакцию 02.11.2013)*

Широкое применение в практике теплогидравлических расчетов стержневых тепловыделяющих сборок (ТВС) нашли коды, основанные на субканальном приближении [1–5]. Субканальные коды позволяют рассчитывать параметры теплоносителя, усредненные по площади проходного сечения элементарной ячейки. Спектр субканальных математических моделей весьма широк; детальный анализ существующих моделей сделан в [5].

Суть субканального приближения сводится к следующему. Пространство сборки, занятое теплоносителем, представляющее собой многосвязную область, рассматривается как совокупность взаимосвязанных субканалов. При выборе способа дискретизации межстержневого пространства пучка на субканалы необходимо руководствоваться следующими требованиями: взаимодействие через границы между субканалами должно быть минимальным; должна быть возможной разумная аппроксимация функций, описывающих характеристики теплоносителя внутри субканала. Таким образом, субканал – часть занятого теплоносителем пространства сборки. Рассматриваемый подход вполне корректен, если ограничиваться расчетом параметров потока, усредненных по поперечному сечению субканала, и полагать, что перетечки теплоносителя через межстержневые зазоры намного меньше расхода через поперечное сечение субканала.

Первое условие требует предположения неизменности в пределах поперечного сечения субканала всех термодинамических параметров потока, в том числе и давления (погранслоинное приближение). Второе условие с учетом сделанного выше предположения справедливо лишь тогда, когда аксиальная составляющая скорости потока существенно превосходит поперечные составляющие. Это позволяет в свою очередь провести разделение переменных в уравнении движения и рассматривать отдельно уравнения баланса продольной и поперечных составляющих импульса. Как следствие, существенно упрощается решение задачи. Между субканалами происходит обмен массой, импульсом и энергией: так называемое межканальное перемешивание, обусловленное различными факторами конструктивного и режимного характера.

В данной статье рассматриваются субканальная трехжидкостная трехполевая математическая модель и ее применение для исследования термогидродинамических процессов в стержневых ТВС водоохлаждаемых реакторов. Она пригодна для исследования процессов термогидродинамики в твэльных сборках во всем диапазоне режимов работы, включая аварийные ситуации. Заметим, что рассматриваемая модель является модернизацией ранее разработанной модели [6]. Системы решаемых уравнений очень похожи. Однако существенно различаются карты режимов течения и теплообмена, используемые для замыкания этих систем. Ограничимся рассмотрением системы решаемых уравнений названной модели. Они приведены ниже (уточним, что нижний индекс, указывающий фазу, в данном случае означает  $v$  – пар,  $l$  – сплошная жидкость,  $e$  – капли жидкости):

$$\left[ (S \alpha_v \bar{\rho}_v)_{,t} \right]_i + \left[ (S \alpha_v \bar{\rho}_v \check{v}_v^z)_{,z} \right]_i = - \sum_{j=1}^N W_{vij} + \sum_{vi} S_i, \quad (1)$$

$$\left[ (S\alpha_l \bar{p}_l)_{,t} \right]_i + \left[ (S\alpha_l \bar{p}_l \tilde{v}_l^z)_{,z} \right]_i = - \sum_{j=1}^N W_{lij} - (1 - \eta_i) \Sigma_{vi} S_i - E_i S_i, \quad (2)$$

$$\left[ (S\alpha_e \bar{p}_e)_{,t} \right]_i + \left[ (S\alpha_e \bar{p}_e \tilde{v}_e^z)_{,z} \right]_i = - \sum_{j=1}^N W_{ejj} - \Sigma_{vi} S_i + E_i S_i, \quad (3)$$

$$\begin{aligned} & (S\alpha_v \bar{p}_v \tilde{v}_{v,t}^z) + (S\alpha_v \bar{p}_v \tilde{v}_v^z \tilde{v}_{v,z}^z)_i = \\ & = - (\alpha_v S \bar{P}_{v,z})_i - \sum_{j=1}^N (\tilde{v}_{vij}^z - \tilde{v}_{vi}^z) W_{vij} - (S\alpha_v \bar{p}_v g)_i - [S(F_{vi}^z + F_{ve}^z)]_i + \\ & + (\alpha_v F_{wv}^z C_w)_i + \frac{\alpha_{vi}}{4} \sum_{j=1}^N (d_{Hi} + d_{Hj})^2 \left[ (\tilde{v}_{vij,x}^z)^2 + (\tilde{v}_{vij,z}^x)^2 \right]^{1/2} \langle \bar{p}_v \tilde{v}_v^z \rangle_{ij}, \end{aligned} \quad (4)$$

$$\begin{aligned} & (S\alpha_l \bar{p}_l \tilde{v}_{l,t}^z) + (S\alpha_l \bar{p}_l \tilde{v}_l^z \tilde{v}_{l,z}^z)_i = \\ & = - (\alpha_l S \bar{P}_{l,z})_i - \sum_{j=1}^N (\tilde{v}_{lij}^z - \tilde{v}_{li}^z) W_{vij} - (S\alpha_l \bar{p}_l g)_i + (S F_{vl}^z)_i + \\ & + (\alpha_v F_{wl}^z C_l)_i + \frac{\alpha_{li}}{4} \sum_{j=1}^N (d_{Hi} + d_{Hj})^2 \left[ (\tilde{v}_{lij,x}^z)^2 + (\tilde{v}_{lij,z}^x)^2 \right]^{1/2} \langle \bar{p}_l \tilde{v}_l^z \rangle_{ij}, \end{aligned} \quad (5)$$

$$\begin{aligned} & (S\alpha_e \bar{p}_e \tilde{v}_{e,t}^z) + (S\alpha_e \bar{p}_e \tilde{v}_e^z \tilde{v}_{e,z}^z)_i = \\ & = - (\alpha_e S \bar{P}_{e,z})_i - \sum_{j=1}^N (\tilde{v}_{ejj}^z - \tilde{v}_{ej}^z) W_{ejj} - (S\alpha_e \bar{p}_e g)_i + (S F_{ve}^z)_i + (\alpha_v F_{we}^z C_w)_i, \end{aligned} \quad (6)$$

$$\begin{aligned} & (S\alpha_v \bar{p}_v \tilde{t}_{v,t}) + (S\alpha_v \bar{p}_v \tilde{v}_v^z \tilde{t}_{v,z})_i = \\ & = - \sum_{j=1}^N W_{vij} (\tilde{t}_{vij} - \tilde{t}_{vi}) - \left( \frac{v_v}{Pr_v} + \frac{I_m^2}{Pr_{Tv}} \left[ (\tilde{v}_{v,x}^z)^2 + (\tilde{v}_{v,z}^x)^2 \right]^{1/2} \right) \frac{\bar{p}_{vi} \tilde{t}_{vi} - \bar{p}_{vj} \tilde{t}_{vj}}{L_{ij}} + \\ & + (\alpha_v q_{Lw})_i + \left[ (S\alpha_v \bar{P}_v)_{,t} \right]_i + [S(Q_{lve} + Q_{lvl})]_i, \end{aligned} \quad (7)$$

$$\begin{aligned} & (S\alpha_l \bar{p}_l \tilde{t}_{l,t}) + (S\alpha_l \bar{p}_l \tilde{v}_l^z \tilde{t}_{l,z})_i = \\ & = - \sum_{j=1}^N W_{lij} (\tilde{t}_{ij} - \tilde{t}_i) - \left( \frac{v_l}{Pr_l} + \frac{I_m^2}{Pr_{Tl}} \left[ (\tilde{v}_{l,x}^z)^2 + (\tilde{v}_{l,z}^x)^2 \right]^{1/2} \right) \frac{\bar{p}_{li} \tilde{t}_{li} - \bar{p}_{lj} \tilde{t}_{lj}}{L_{ij}} + \\ & + (\alpha_l q_{Lw})_i + \left[ (S\alpha_l \bar{P}_l)_{,t} \right]_i + [S(Q_{lle} - Q_{lvl})]_i, \end{aligned} \quad (8)$$

$$\begin{aligned} & (S\alpha_e \bar{p}_e \tilde{t}_{e,t}) + (S\alpha_e \bar{p}_e \tilde{v}_e^z \tilde{t}_{e,z})_i = - \sum_{j=1}^N W_{ejj} (\tilde{t}_{ejj} - \tilde{t}_{ej}) - \\ & - \frac{v_e}{Pr_e} \frac{\bar{p}_{ei} \tilde{t}_{ei} - \bar{p}_{ej} \tilde{t}_{ej}}{L_{ij}} + (\alpha_e q_{Lw})_i + \left[ (S\alpha_e \bar{P}_e)_{,t} \right]_i - [S(Q_{lev} + Q_{lel})]_i, \end{aligned} \quad (9)$$

$$\begin{aligned} & W_{vij,t} + (W_{vij} \tilde{v}_{vij}^z)_{,z} + (W_{vij} \tilde{v}_{vij}^x)_{,x} = \\ & = - C_{ij} \alpha_{vij} \frac{\bar{P}_{vi} - \bar{P}_{vj}}{L_{ij}} + \alpha_{vij} F_{wvij}^x - C_{ij} (F_{vlj}^x + F_{vej}^x) + C_{ij} \Sigma_{vij} \tilde{v}_{vij}^x, \end{aligned} \quad (10)$$

$$\begin{aligned}
& W_{lij,t} + \left( W_{lij} \tilde{v}_{lij}^z \right)_{,z} + \left( W_{lij} \tilde{v}_{lij}^x \right)_{,x} = \\
& = -C_{ij} \alpha_{lij} \frac{\bar{P}_{li} - \bar{P}_{lj}}{L_{ij}} + \alpha_{lij} F_{wlij}^x + C_{ij} F_{vlij}^x - C_{ij} (1 - \eta_{ij}) \Sigma_{vij} \tilde{v}_{lij}^x - C_{ij} E_{ij} \tilde{v}_{lij}^x,
\end{aligned} \tag{11}$$

$$\begin{aligned}
& W_{eij,t} + \left( W_{eij} \tilde{v}_{eij}^z \right)_{,z} + \left( W_{eij} \tilde{v}_{eij}^x \right)_{,x} = \\
& = -C_{ij} \alpha_{eij} \frac{\bar{P}_{ei} - \bar{P}_{ej}}{L_{ij}} + \alpha_{eij} F_{weij}^x + C_{ij} F_{veij}^x - C_{ij} \eta_{ij} \Sigma_{vij} \tilde{v}_{eij}^x + C_{ij} E_{ij} \tilde{v}_{eij}^x.
\end{aligned} \tag{12}$$

Уравнения баланса на межфазных поверхностях приведены в [4]. Входящие в уравнения (1)–(12) величины определены следующим образом:

$$\left\langle \bar{\rho}_p \tilde{v}_p^z \right\rangle_{ij} \equiv \bar{\rho}_p \tilde{v}_p^z \Big|_{ij} \equiv \begin{cases} \langle \bar{\rho}_p \rangle_i \langle \tilde{v}_p^z \rangle_i, & \tilde{v}_p^\beta n_C^\beta \Big|_{ij} > 0, \\ \langle \bar{\rho}_p \rangle_j \langle \tilde{v}_p^z \rangle_j, & \tilde{v}_p^\beta n_C^\beta \Big|_{ij} < 0, \end{cases}$$

$$\alpha_{p ij} \equiv \langle \alpha_p \rangle \Big|_{ij} \equiv \begin{cases} \langle \alpha_p \rangle_i, & \tilde{v}_p^\beta n_C^\beta \Big|_{ij} > 0, \\ \langle \alpha_p \rangle_j, & \tilde{v}_p^\beta n_C^\beta \Big|_{ij} < 0, \end{cases}$$

$$F_{wp ij}^x \equiv \langle F_{wp}^x \rangle \Big|_{ij} \equiv \begin{cases} \langle F_{wp}^x \rangle_i, & \tilde{v}_p^\beta n_C^\beta \Big|_{ij} > 0, \\ \langle F_{wp}^x \rangle_j, & \tilde{v}_p^\beta n_C^\beta \Big|_{ij} < 0, \end{cases}$$

$$F_{pf ij}^x \equiv \langle F_{pf}^x \rangle \Big|_{ij} \equiv \begin{cases} \langle F_{pf}^x \rangle_i, & \tilde{v}_p^\beta n_C^\beta \Big|_{ij} > 0, \\ \langle F_{pf}^x \rangle_j, & \tilde{v}_p^\beta n_C^\beta \Big|_{ij} < 0, \end{cases}$$

$$\Sigma_{vij} \equiv \Sigma_v \Big|_{ij} \equiv \begin{cases} \Sigma_{vi}, & \tilde{v}_p^\beta n_C^\beta \Big|_{ij} > 0, \\ \Sigma_{vj}, & \tilde{v}_p^\beta n_C^\beta \Big|_{ij} < 0, \end{cases}$$

$$\eta_{ij} \equiv \eta \Big|_{ij} \equiv \begin{cases} \eta_i, & \tilde{v}_p^\beta n_C^\beta \Big|_{ij} > 0, \\ \eta_j, & \tilde{v}_p^\beta n_C^\beta \Big|_{ij} < 0, \end{cases}$$

$$E_{ij} \equiv E \Big|_{ij} \equiv \begin{cases} E_i, & \tilde{v}_p^\beta n_C^\beta \Big|_{ij} > 0, \\ E_j, & \tilde{v}_p^\beta n_C^\beta \Big|_{ij} < 0, \end{cases}$$

$$\bar{P}_{p ij, x} \equiv \frac{\bar{P}_{pi} - \bar{P}_{pj}}{L_{ij}}.$$

В приведенных выше уравнениях использованы следующие обозначения:  $S$  – площадь проходного сечения субканала,  $m^2$ ;  $\alpha_p$  – истинное объемное содержание  $p$ -фазы;  $\bar{\rho}_p$  – плотность (средняя)  $p$ -фазы,  $kg/m^3$ ;  $\tilde{v}_p^\beta$  – скорость (среднемассовая)  $p$ -фазы,  $m/s$ ;  $W_{p ij}$  – линейный (отнесенный к единице длины) расход  $p$ -фазы теплоносителя через межстержневой зазор из субканала  $i$  в смежный

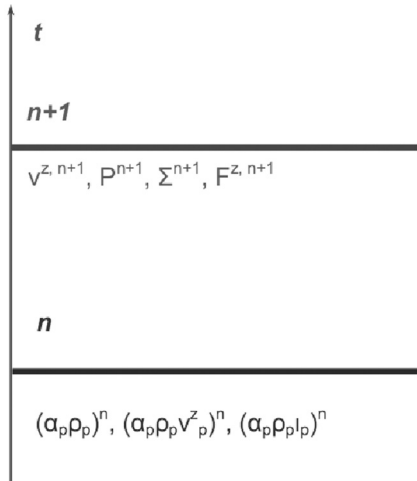


Рис. 1. Фрагмент временной сетки

с ним субканал  $j$ ;  $\bar{P}_p$  – давление в  $p$ -фазе, Па;  $g$  – ускорение гравитационной силы,  $m/c^2$ ;  $C_{ij}$  – межстержневой зазор между рассматриваемым субканалом  $i$  и смежным с ним субканалом  $j$ , м;  $\tilde{t}_p$  – удельная энтальпия (среднемассовая)  $p$ -фазы, Дж/кг;  $\Sigma_v$  – объемная мощность генерации пара,  $kg/(m^3 \cdot c)$ ;  $E$  – объемная мощность уноса жидкости,  $kg/(m^3 \cdot c)$ ;  $\eta$  – доля полной генерации пара, приходящаяся на унесенную жидкость;  $d$  – эквивалентный гидравлический диаметр субканала, м;  $F_{wp}^\beta$  – отнесенная к единице поверхности сила трения  $p$ -фазы о стенки стержней,  $N/m^2$ ;  $q_{lw}$  – линейный тепловой поток с поверхности твэла,  $Вт/м$ ;  $l_m$  – длина смещения, м;  $Pr$  – число Прандтля;  $Pr_T$  – турбулентное число Прандтля;  $Q_{lp}$  – кондукционный отнесенный к единице длины тепловой поток на межфазной поверхности,  $Вт/м^3$ ;  $z$  – аксиальная координата;  $x$  – поперечная координата;  $Y_{,x}$  – частная производная функции  $Y$  по аргументу  $x$ .

Кратко рассмотрим методику численной реализации предложенной субканальной математической модели. Применяется полунейная численная схема, подобная схеме, предложенной в [7]. Все переменные, которые присутствуют в источниковых членах и членах, описывающих взаимодействие на межфазных границах и поверхностях твердых стенок, рассматриваются в неявной трактовке: оцениваются значениями, присущими новому ( $(n + 1)$ -му) моменту (рис. 1). Также трактуются фазовые скорости, входящие в конвективные члены массы и энергии, и давления, присутствующие во всех членах дифференцируемых уравнений. Напротив, члены конвективных потоков массы, импульса, энергии оцениваются на  $n$ -м шаге по времени, т. е. в явной форме. Для дискретизации по пространственной (аксиальной) переменной используется «шахматная сетка» (рис. 2). Дискретные уравнения неразрывности имеют следующий вид:

$$\begin{aligned} & \frac{1}{\Delta t} \left[ (\alpha_v \bar{\rho}_v)_{i,k}^{n+1} - (\alpha_v \bar{\rho}_v)_{i,k}^n \right] S_{i,k} + \\ & + \frac{1}{\Delta z} \left[ (\alpha_v \bar{\rho}_v)_{i,k}^n (S \tilde{v}_v^{z,n+1})_{i,k+1/2} - (\alpha_v \bar{\rho}_v)_{i,k}^n (S \tilde{v}_v^{z,n+1})_{i,k-1/2} \right] = \\ & = - \sum_{j=1}^N W_{vij,k}^n + [(\Sigma_v^{n+1}) S]_{i,k}, \end{aligned} \quad (13)$$

$$\begin{aligned} & \frac{1}{\Delta t} \left[ (\alpha_l \bar{\rho}_l)_{i,k}^{n+1} - (\alpha_l \bar{\rho}_l)_{i,k}^n \right] S_{i,k} + \\ & + \frac{1}{\Delta z} \left[ (\alpha_l \bar{\rho}_l)_{i,k}^n (S \tilde{v}_l^{z,n+1})_{i,k+1/2} - (\alpha_l \bar{\rho}_l)_{i,k}^n (S \tilde{v}_l^{z,n+1})_{i,k-1/2} \right] = \\ & = - \sum_{j=1}^N W_{lij,k}^n - [(1 - \eta^{n+1}) \Sigma_v^{n+1} S]_{i,k} - (E^{n+1} S)_{i,k}; \end{aligned} \quad (14)$$

$$\begin{aligned} & \frac{1}{\Delta t} \left[ (\alpha_e \bar{\rho}_e)_{i,k}^{n+1} - (\alpha_e \bar{\rho}_e)_{i,k}^n \right] S_{i,k} + \\ & + \frac{1}{\Delta z} \left[ (\alpha_e \bar{\rho}_e)_{i,k}^n (S \tilde{v}_e^{z,n+1})_{i,k+1/2} - (\alpha_e \bar{\rho}_e)_{i,k}^n (S \tilde{v}_e^{z,n+1})_{i,k-1/2} \right] = \\ & = - \sum_{j=1}^N W_{eij,k}^n - (\eta \Sigma_v^{n+1} S)_{i,k} - (E^{n+1} S)_{i,k}. \end{aligned} \quad (15)$$

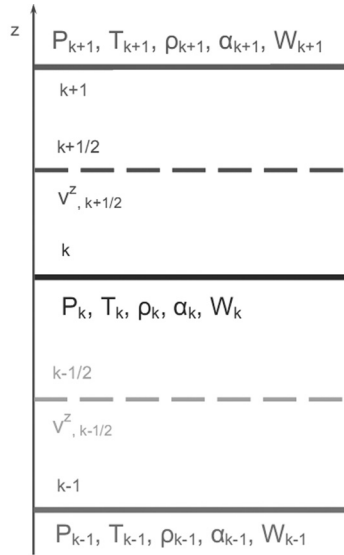


Рис. 2. Фрагмент пространственной сетки

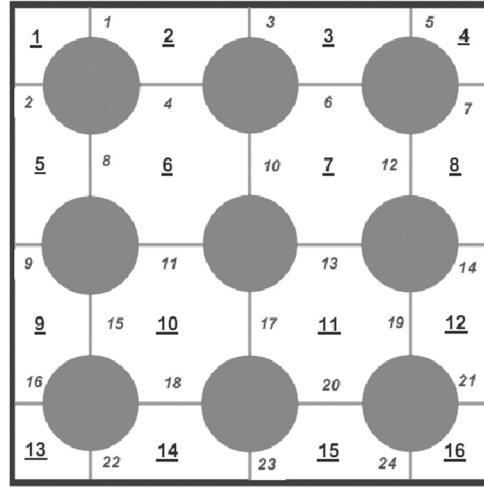


Рис. 3. Схема нумерации субканалов и зазоров для квадратного пучка (сборка из 9 стержней: 16 субканалов, 24 зазора)

Дискретные уравнения баланса продольной составляющей импульса:

$$\begin{aligned}
& \frac{1}{\Delta t} \left[ (\alpha_v \bar{\rho}_v)^{n+1} \tilde{v}_{v,i,k+1/2}^{z,n+1} - (\alpha_v \bar{\rho}_v)^n \tilde{v}_{v,i,k+1/2}^{z,n} \right] S_{i,k} + \\
& + \frac{1}{\Delta z} \left[ S_{i,k} (\alpha_v \bar{\rho}_v)^n \tilde{v}_{v,i,k+1/2}^{z,n} \tilde{v}_{v,i,k+1/2}^{z,n+1} - S_{i,k} (\alpha_v \bar{\rho}_v)^n \tilde{v}_{v,i,k-1/2}^{z,n} \tilde{v}_{v,i,k-1/2}^{z,n+1} \right] = \\
& = - \frac{S_{i,k}}{\Delta z} \left[ (\alpha_v^n \bar{P}_v^{n+1})_{i,k+1} - (\alpha_v^n \bar{P}_v^{n+1})_{i,k} \right] - S_{i,k} (\alpha_v \bar{\rho}_v)^n g + \\
& + \frac{\alpha_{vi,k}^n}{4} \sum_{j=1}^N \left[ (d_{Hi,k} + d_{Hj,k})^2 \langle \bar{\rho}_v \tilde{v}_v^z \rangle_{ij,k}^n \left[ \left( \frac{\partial \tilde{v}_{vij,k+1/2}^{z,n+1}}{\partial x} \right)^2 + \left( \frac{\partial \tilde{v}_{vij,k+1/2}^{z,n+1}}{\partial z} \right)^2 \right]^{1/2} \right] - \\
& - \sum_{j=1}^N (\tilde{v}_{vij,k+1/2}^{z,n+1} - \tilde{v}_{vi,k+1/2}^{z,n+1}) W_{vij,k}^n - S_{i,k} (F_{vl}^z + F_{ve}^z)_{i,k}^{n+1} + C_{wi,k} \alpha_{vi,k}^n F_{wvi,k}^{z,n+1},
\end{aligned} \tag{16}$$

$$\begin{aligned}
& \frac{1}{\Delta t} \left[ (\alpha_l \bar{\rho}_l)^{n+1} \tilde{v}_{l,i,k+1/2}^{z,n+1} - (\alpha_l \bar{\rho}_l)^n \tilde{v}_{l,i,k+1/2}^{z,n} \right] S_{i,k} + \\
& + \frac{1}{\Delta z} \left[ S_{i,k} (\alpha_l \bar{\rho}_l)^n \tilde{v}_{l,i,k+1/2}^{z,n} \tilde{v}_{l,i,k+1/2}^{z,n+1} - S_{i,k} (\alpha_l \bar{\rho}_l)^n \tilde{v}_{l,i,k-1/2}^{z,n} \tilde{v}_{l,i,k-1/2}^{z,n+1} \right] = \\
& = - \frac{S_{i,k}}{\Delta z} \left[ (\alpha_l^n \bar{P}_l^{n+1})_{i,k+1} - (\alpha_l^n \bar{P}_l^{n+1})_{i,k} \right] - S_{i,k} (\alpha_l \bar{\rho}_l)^n g + \\
& + \frac{\alpha_{li,k}^n}{4} \sum_{j=1}^N \left[ (d_{Hi,k} + d_{Hj,k})^2 \langle \bar{\rho}_l \tilde{v}_l^z \rangle_{ij,k}^n \times \right. \\
& \times \left. \left[ \left( \frac{\partial \tilde{v}_{lij,k+1/2}^{z,n+1}}{\partial x} \right)^2 + \left( \frac{\partial \tilde{v}_{lij,k+1/2}^{z,n+1}}{\partial z} \right)^2 \right]^{1/2} \right] - \\
& - \sum_{j=1}^N (\tilde{v}_{lij,k+1/2}^{z,n+1} - \tilde{v}_{li,k+1/2}^{z,n+1}) W_{vij,k}^n - S_{i,k} F_{vli,k}^{z,n+1} + \alpha_{li,k}^n C_{wi,k} F_{wli,k}^{z,n+1},
\end{aligned} \tag{17}$$

$$\begin{aligned}
& \frac{1}{\Delta t} \left[ (\alpha_e \bar{\rho}_e)_{i,k}^{n+1} \tilde{v}_{e,i,k+1/2}^{z,n+1} - (\alpha_e \bar{\rho}_e)_{i,k}^n \tilde{v}_{e,i,k+1/2}^{z,n} \right] S_{i,k} + \\
& + \frac{1}{\Delta z} \left[ S_{i,k} (\alpha_e \bar{\rho}_e)_{i,k}^n \tilde{v}_{e,i,k+1/2}^{z,n} \tilde{v}_{e,i,k+1/2}^{z,n+1} - S_{i,k} (\alpha_e \bar{\rho}_e)_{i,k}^n \tilde{v}_{e,i,k-1/2}^{z,n} \tilde{v}_{e,i,k-1/2}^{z,n+1} \right] = \\
& = - \frac{S_{i,k}}{\Delta z} \left[ (\alpha_e^n \bar{P}_e^{n+1})_{i,k+1} - (\alpha_e^n \bar{P}_e^{n+1})_{i,k} \right] - S_{i,k} (\alpha_e \bar{\rho}_e)_{i,k}^n g - \\
& - \sum_{j=1}^N (\tilde{v}_{ej,k+1/2}^{z,n+1} - \tilde{v}_{ei,k+1/2}^{z,n+1}) W_{ej,k}^n - S_{i,k} F_{vei,k}^{z,n+1} + \alpha_{ei,k}^n C_{wi,k} F_{wei,k}^{z,n+1}.
\end{aligned} \tag{18}$$

Дискретные уравнения баланса энергии:

$$\begin{aligned}
& \frac{1}{\Delta t} \left[ (\alpha_v \bar{\rho}_v \tilde{t}_v)_{i,k}^{n+1} - (\alpha_v \bar{\rho}_v \tilde{t}_v)_{i,k}^n \right] S_{i,k} + \\
& + \frac{1}{\Delta z} \left[ S_{i,k} (\alpha_v \bar{\rho}_v \tilde{t}_v)_{i,k}^n \tilde{v}_{v,i,k+1/2}^{z,n+1} - S_{i,k} (\alpha_v \bar{\rho}_v \tilde{t}_v)_{i,k}^n \tilde{v}_{v,i,k-1/2}^{z,n+1} \right] = \\
& = - \frac{S_{i,k}}{\Delta t} \left[ (\alpha_v \bar{P}_v)_{i,k}^{n+1} - (\alpha_v \bar{P}_v)_{i,k}^n \right] + (\alpha_v q_{Lw})_{i,k}^{n+1} - \\
& - \sum_{j=1}^N \left\{ \left( \frac{v_v}{Pr_v} \right)_k^n + \frac{(d_{Hi,k} + d_{Hj,k})^2}{4 (Pr_{Tv})_k^n} \left[ \left( \frac{\partial \tilde{v}_{vij,k+1/2}^{z,n+1}}{\partial x} \right)^2 + \left( \frac{\partial \tilde{v}_{vij,k+1/2}^{x,n+1}}{\partial z} \right)^2 \right]^{1/2} \right\} \frac{(\bar{\rho}_{vi} \tilde{t}_{vi} - \bar{\rho}_{vj} \tilde{t}_{vj})_k^n}{L_{ij,k}} - \\
& - \sum_{j=1}^N (\tilde{t}_{vij,k}^n - \tilde{t}_{vi,k}^n) W_{vij,k}^n - S_{i,k} (Q_{Ive} + Q_{Ivl})_{i,k}^{n+1},
\end{aligned} \tag{19}$$

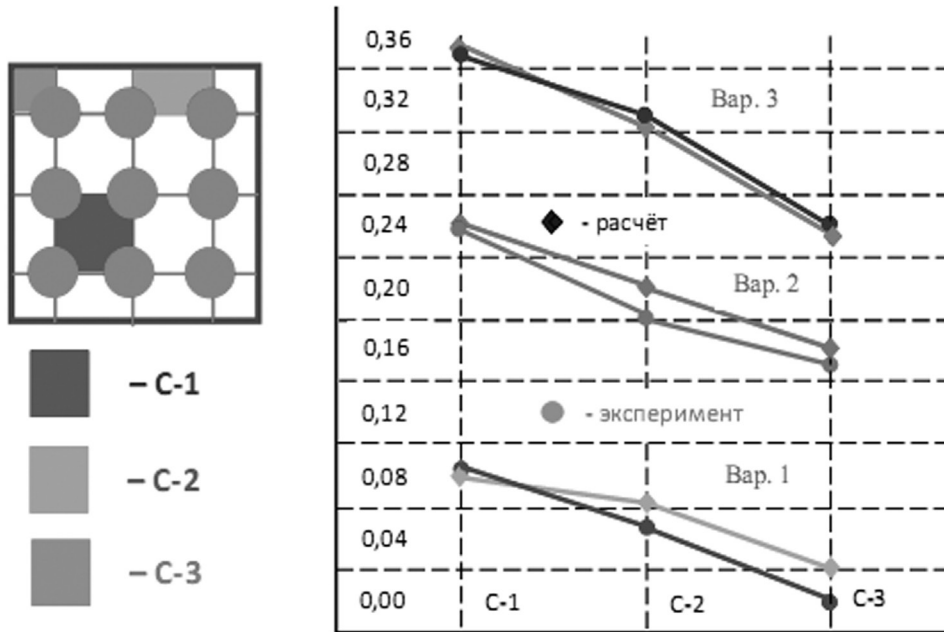


Рис. 4. Результаты сравнения рассчитанных и экспериментальных величин: Вар (вариант) 1, 2, 3 – соответственно варианты 2D3, 2E3, 2G2; C-1, C-2, C-3 – центральный, боковой и угловой субканалы соответственно

$$\begin{aligned}
& \frac{1}{\Delta t} \left[ (\alpha_l \bar{\rho}_l \tilde{\tau}_l)_{i,k}^{n+1} - (\alpha_l \bar{\rho}_l \tilde{\tau}_l)_{i,k}^n \right] S_{i,k} + \\
& + \frac{1}{\Delta z} \left[ S_{i,k} (\alpha_l \bar{\rho}_l \tilde{\tau}_l)_{i,k}^n \tilde{v}_{l,i,k+1/2}^{z,n+1} - S_{i,k} (\alpha_l \bar{\rho}_l \tilde{\tau}_l)_{i,k}^n \tilde{v}_{l,i,k-1/2}^{z,n+1} \right] = \\
& = -\frac{S_{i,k}}{\Delta t} \left[ (\alpha_l \bar{P}_l)_{i,k}^{n+1} - (\alpha_l \bar{P}_l)_{i,k}^n \right] + (\alpha_l q_{Lw})_{i,k}^{n+1} - \sum_{j=1}^N \left\{ \left( \frac{v_l}{Pr_l} \right)_k^n + \frac{(d_{Hi,k} + d_{Hj,k})^2}{4(Pr_{Tl})_k^n} \times \right. \\
& \times \left. \left[ \left( \frac{\partial \tilde{v}_{lij,k+1/2}^{z,n+1}}{\partial x} \right)^2 + \left( \frac{\partial \tilde{v}_{lij,k+1/2}^{x,n+1}}{\partial z} \right)^2 \right]^{1/2} \right\} \frac{(\bar{\rho}_{li} \tilde{\tau}_{li} - \bar{\rho}_{lj} \tilde{\tau}_{lj})_k^n}{L_{ij,k}} - \\
& - \sum_{j=1}^N (\tilde{\tau}_{lij,k}^n - \tilde{\tau}_{li,k}^n) W_{lij,k}^n + S_{i,k} (Q_{lle} - Q_{lvl})_{i,k}^{n+1}, \\
& \frac{1}{\Delta t} \left[ (\alpha_e \bar{\rho}_e \tilde{\tau}_e)_{i,k}^{n+1} - (\alpha_e \bar{\rho}_e \tilde{\tau}_e)_{i,k}^n \right] S_{i,k} + \\
& + \frac{1}{\Delta z} \left[ S_{i,k} (\alpha_e \bar{\rho}_e \tilde{\tau}_e)_{i,k}^n \tilde{v}_{e,i,k+1/2}^{z,n+1} - S_{i,k} (\alpha_e \bar{\rho}_e \tilde{\tau}_e)_{i,k}^n \tilde{v}_{e,i,k-1/2}^{z,n+1} \right] = \\
& = -\frac{S_{i,k}}{\Delta t} \left[ (\alpha_e \bar{P}_e)_{i,k}^{n+1} - (\alpha_e \bar{P}_e)_{i,k}^n \right] + (\alpha_e q_{Lw})_{i,k}^{n+1} - \sum_{j=1}^N \frac{1}{L_{ij,k}} \left( \frac{v_e}{Pr_e} (\bar{\rho}_{ei} \tilde{\tau}_{ei} - \bar{\rho}_{ej} \tilde{\tau}_{ej}) \right)_k^n - \\
& - \sum_{j=1}^N (\tilde{\tau}_{eij,k}^n - \tilde{\tau}_{ei,k}^n) W_{eij,k}^n - S_{i,k} (Q_{lev} + Q_{lel})_{i,k}^{n+1}.
\end{aligned} \tag{20}$$

$$\begin{aligned}
& \frac{1}{\Delta t} \left[ (\alpha_e \bar{\rho}_e \tilde{\tau}_e)_{i,k}^{n+1} - (\alpha_e \bar{\rho}_e \tilde{\tau}_e)_{i,k}^n \right] S_{i,k} + \\
& + \frac{1}{\Delta z} \left[ S_{i,k} (\alpha_e \bar{\rho}_e \tilde{\tau}_e)_{i,k}^n \tilde{v}_{e,i,k+1/2}^{z,n+1} - S_{i,k} (\alpha_e \bar{\rho}_e \tilde{\tau}_e)_{i,k}^n \tilde{v}_{e,i,k-1/2}^{z,n+1} \right] = \\
& = -\frac{S_{i,k}}{\Delta t} \left[ (\alpha_e \bar{P}_e)_{i,k}^{n+1} - (\alpha_e \bar{P}_e)_{i,k}^n \right] + (\alpha_e q_{Lw})_{i,k}^{n+1} - \sum_{j=1}^N \frac{1}{L_{ij,k}} \left( \frac{v_e}{Pr_e} (\bar{\rho}_{ei} \tilde{\tau}_{ei} - \bar{\rho}_{ej} \tilde{\tau}_{ej}) \right)_k^n - \\
& - \sum_{j=1}^N (\tilde{\tau}_{eij,k}^n - \tilde{\tau}_{ei,k}^n) W_{eij,k}^n - S_{i,k} (Q_{lev} + Q_{lel})_{i,k}^{n+1}.
\end{aligned} \tag{21}$$

Дискретные уравнения баланса поперечной составляющей импульса:

$$\begin{aligned}
& \frac{1}{\Delta t} (W_{vij,k}^{n+1} - W_{vij,k}^n) + \frac{1}{\Delta z} (W_{vij,k}^n \tilde{v}_{vi,k+1/2}^{z,n+1} - W_{vij,k}^n \tilde{v}_{vi,k-1/2}^{z,n+1}) + \\
& + \frac{1}{L_{ij,k}} (W_{vij,k}^n \tilde{v}_{vij,k}^{x,n+1} - W_{vij,k}^n \tilde{v}_{vij,k}^{x,n+1}) = -C_{ij,k} \alpha_{vij,k}^n \frac{\bar{P}_{vi,k}^{n+1} - \bar{P}_{vj,k}^{n+1}}{L_{ij,k}} + \alpha_{vij,k}^n F_{wvij,k}^{x,n+1} - \\
& - C_{ij,k} (F_{vl}^x + F_{ve}^x)_{ij,k}^{n+1} + C_{ij,k} \Sigma_{vij,k}^{n+1} \tilde{v}_{vij,k}^{x,n+1},
\end{aligned} \tag{22}$$

$$\begin{aligned}
& \frac{1}{\Delta t} (W_{lij,k}^{n+1} - W_{lij,k}^n) + \frac{1}{\Delta z} (W_{lij,k}^n \tilde{v}_{li,k+1/2}^{z,n+1} - W_{lij,k}^n \tilde{v}_{li,k-1/2}^{z,n+1}) + \\
& + \frac{1}{L_{ij,k}} (W_{lij,k}^n \tilde{v}_{lij,k}^{x,n+1} - W_{lij,k}^n \tilde{v}_{lij,k}^{x,n+1}) = -C_{ij,k} \alpha_{lij,k}^n \frac{\bar{P}_{li,k}^{n+1} - \bar{P}_{lj,k}^{n+1}}{L_{ij,k}} + \alpha_{lij,k}^n F_{wlij,k}^{x,n+1} - \\
& - C_{ij,k} F_{vlj,k}^{x,n+1} - C_{ij,k} (1 - \eta_{ij,k}^{n+1}) \Sigma_{vij,k}^{n+1} \tilde{v}_{lij,k}^{x,n+1} - C_{ij,k} E_{ij,k}^{n+1} \tilde{v}_{lij,k}^{x,n+1},
\end{aligned} \tag{23}$$

$$\begin{aligned}
& \frac{1}{\Delta t} (W_{eij,k}^{n+1} - W_{eij,k}^n) + \frac{1}{\Delta z} (W_{eij,k}^n \tilde{v}_{ei,k+1/2}^{z,n+1} - W_{eij,k}^n \tilde{v}_{ei,k-1/2}^{z,n+1}) + \\
& + \frac{1}{L_{ij,k}} (W_{eij,k}^n \tilde{v}_{eij,k}^{x,n+1} - W_{eij,k}^n \tilde{v}_{eij,k}^{x,n+1}) = -C_{ij,k} \alpha_{eij,k}^n \frac{\bar{P}_{ei,k}^{n+1} - \bar{P}_{ej,k}^{n+1}}{L_{ij,k}} + \alpha_{eij,k}^n F_{weij,k}^{x,n+1} + \\
& + C_{ij,k} F_{veij,k}^{x,n+1} - C_{ij,k} \eta_{ij,k}^{n+1} \Sigma_{vij,k}^{n+1} \tilde{v}_{eij,k}^{x,n+1} - C_{ij,k} E_{ij,k}^{n+1} \tilde{v}_{eij,k}^{x,n+1}.
\end{aligned} \tag{24}$$

Для нумерации субканалов и зазоров между ними применяется способ, общие положения которого предложены в [8], апробированный автором в [6, 9, 10]. На рис. 3 представлена схема нумерации субканалов и зазоров, применяемая для пучка из стержней в квадратной упаковке.

На рис. 4 приведены результаты сравнения расчетных значений и экспериментальных данных для массового расходного паросодержания в электрообогреваемой сборке из 9 стержней, расположенных в квадратной упаковке. Экспериментальные данные взяты из [11], там же можно найти сведения о параметрах сборки и режимах, моделируемых в натуральных экспериментах.

Таким образом, можно отметить хорошее совпадение результатов расчета и данных натуральных экспериментов для всех рассмотренных вариантов.

## Литература

1. *Sha W. T.* // Nuclear Engineering and Design. 1980. Vol. 62, N 1-3. P. 1–24.
2. *Жуков А. В., Сорокин А. П., Матюхин Н. М.* Межканальный обмен в ТВС быстрых реакторов: Расчетные программы и практическое приложение. М., 1991.
3. *Семенович О. В.* К проблеме термогидродинамического расчёта стержневых тепловыделяющих сборок. Уравнения модели раздельного течения фаз. Мн., 1999. (Препринт / Ин-т проблем энергетики НАН Беларуси: 50).
4. *Семенович О. В.* К проблеме термогидродинамического расчета стержневых тепловыделяющих сборок. Субканальные математические модели. Системы решаемых уравнений. Минск, 2001. (Препринт / Ин-т проблем энергетики НАН Беларуси: 68).
5. *Семенович О. В.* Анализ субканальных моделей термогидродинамического расчёта стержневых ТВС: классификация и тенденции развития. Мн., 2009. (Препринт / Объединенный ин-т энергет. и ядер. исслед. – Сосны НАН Беларуси: 40).
6. *Семенович О. В.* // Тез. докл. и сообщ.: Матер. VI Минского междунар. форума по тепло- и массообмену, Минск, 19–23 мая 2008 г.: В 2 т. Мн., 2008. Т. 2. С. 289–290.
7. *Liles D. R., Reed Wm. H.* // Journ. of Computational Physics. 1978. Vol. 26, N 4. P. 390–407.
8. *Рой* // Теплопередача. Сер. С. 1973. Т. 95, № 2. С. 67–73.
9. *Семенович О. В.* // Машиностроение и техносфера XXI века: Сб. тр. междунар. науч.-техн. конф. в г. Севастополе 12–17 сентября 2005 г.: в 5 т. Донецк, 2005. Т. 3. С. 160–164.
10. *Семенович О. В.* // 6-я междунар. науч.-техн. конф. «Обеспечение безопасности АЭС с ВВЭР» (26–29 мая 2009 г., Подольск, Московская обл., Россия): Сб. докл.: В 4 т. Подольск, 2009. Т. 1. С. 59–69.
11. *Kronenberg J. et al.* // Jahrestagung kerntechnik. 2003: Annual meeting on nuclear technology. 2003. P. 105–109.

*O. V. SEMENOVICH*

## MATHEMATICAL SIMULATION OF THERMAL HYDRAULIC PROCESSES IN ROD FUEL ASSEMBLIES

### Summary

A analysis of methods of simulation of hydrodynamics and heat and mass transfer in the rod fuel assemblies of nuclear power reactors is made. A subchannel multifield multifluid mathematical model, which is used to study the thermohydraulic processes in the fuel assembly with different operating modes: normal operation, accidents, is thoroughly considered. The paper presents the results of computer simulation.